

甲氧羰基丙烯酸-6-L-抗坏血酸酯的 合成及抗氧化活性研究

何莉斌, 宁正祥, 李 娜

(华南理工大学轻工与食品学院, 广东广州 510640)

摘要:采用直接酯化法, 合成了甲氧羰基丙烯酸-6-L-抗坏血酸酯, 并从清除羟自由基、超氧阴离子自由基方面对其抗氧化活性进行了研究。结果表明, 甲氧羰基丙烯酸-6-L-抗坏血酸酯对氧自由基有较好的清除效果, 是一种有潜力的食品添加剂。

关键词:L-抗坏血酸, 甲氧羰基丙烯酸-6-L-抗坏血酸酯, 合成, 抗氧化

Study on antioxidant activity and the synthesis of 6-L-ascorbyl methoxycarbonylacrlylates

HE Li-bin, NING Zheng-xiang, LI Na

(College of Light Industry and Food Science, South China University of Technology, Guangzhou 510640, China)

Abstract: 6-L-ascorbyl methoxycarbonylacrlylates was prepared by esterification. The antioxidant properties were evaluated by these methods: scavenging hydroxyl radical and superoxide radical power. The results showed that 6-L-ascorbyl methoxycarbonylacrlylates had significant antioxidant activities and could be a potential food additive.

Key words: L-ascorbic acid; 6-L-ascorbyl methoxycarbonylacrlylates; synthesis; antioxidant

中图分类号: TS202.3

文献标识码: A

文章编号: 1002-0306(2009)02-0265-03

V_c 具有还原剂的性质, 其用途广泛, 既作为一种人体必需的营养素用于医疗保健方面, 同时又是一种强抗氧化剂用于食品工业。另外 V_c 还广泛用于美容、畜牧业和水产养殖业等领域。但 V_c 容易被热或氧化剂破坏, 光、微量重金属和荧光物质等更能促进其氧化^[1]。同时, V_c 几乎不溶于油相, 其应用受到很大的限制。因此, 如何提高 V_c 的稳定性和油溶性是国内外研究者所关心的问题。本文通过对 V_c 进行分子修饰, 得到甲氧羰基丙烯酸-6-L-抗坏血酸酯, 通过实验进一步证明它清除氧自由基的效果。合成的新物质既保留了 L-抗坏血酸的抗氧化性能, 同时又能够溶于油相, 有可能成为一类具有多种功能的食品添加剂。

1 材料与方法

1.1 材料与仪器

L-抗坏血酸、马来酸酐、甲醇、浓硫酸(98%)、乙酸乙酯、EDTA、磷酸二氢钾、磷酸氢二钾、邻二氮菲、30% 过氧化氢、无水乙醇、 FeSO_4 、Tris、邻苯三酚、盐酸等 均为市售国产分析纯试剂。

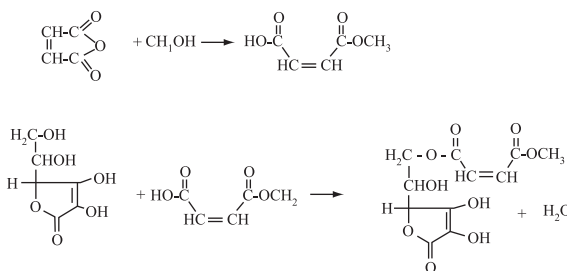
MercuryPlus300 核磁共振波谱仪 美国 VARIAN 公司; 紫外可见光光度计(TU-1810PC) 北京普析

通用仪器公司; 旋转蒸发器(RE-52) 上海雅荣生化设备仪器有限公司; 循环水式真空泵 巩义市英峪予华仪器厂; 分光光度计(721) 上海精密科学仪器有限公司; pH 计(pH-25型) 上海雷磁仪器厂; JB-2型恒温磁力搅拌器 上海雷磁仪器厂新泾分厂; 恒温振荡器(THZ-82) 金坛市富华仪器有限公司。

1.2 实验方法

1.2.1 马来酸单甲酯的制备 空间位阻对酯化反应影响很大, 酯化反应速度随醇分子中烷基体积增大而降低, 所以不同的醇应采用不同的反应时间、反应温度和反应物配比^[2]。将摩尔比 1:1 的马来酸酐和甲醇(0.05 mol)加入 100mL 锥形瓶中, 在 40℃ 水浴中搅拌至马来酸酐完全溶解, 60℃ 保温反应 2.5h。

1.2.2 甲氧羰基丙烯酸-6-L-抗坏血酸酯的合成 采用直接酯化法^[3]。向装有 20mL 浓硫酸的三角瓶中缓慢加入摩尔比为 2.5:1 的 V_c 和马来酸单甲酯(0.015 mol), 室温下搅拌 1h, 待 V_c 完全溶解后, 放入恒温振荡器中, 25~26℃ 下反应 32h。反应结束后, 将反应体系倒入快速搅拌的 50g 碎冰中, 待冰块完全融化后, 分三次用 40mL 乙酸乙酯萃取, 第三次萃取时乙酸乙酯层基本为无色, 合并乙酸乙酯层, 用无水 Na_2SO_4 干燥过夜。0.08~0.09 MPa 下 33~35℃ 旋转蒸馏, 蒸发直至重量不再变化, 得黄色粘稠物质。合成技术路线如下:



1.2.3 测定方法

1.2.3.1 马来酸单甲酯酯化率的测定 按马来酸单甲酯制备的条件进行保温反应,每隔半小时测定,加入20mL水,以0.1%酚酞为指示剂,应用1mol/L NaOH溶液滴定至微红色,记录消耗NaOH溶液的体积,以此计算酯化率^[4]。

1.2.3.2 甲氧羰基丙烯酸-6-L-抗坏血酸酯对羟自由基清除能力的测定 参照刘本国等^[5]、贾之慎等^[6]所述方法,将50mmol/L邻二氮菲无水乙醇溶液稀释至5mmol/L,取该液1.2mL,加0.8mL的0.2mmol/L磷酸盐缓冲液(pH7.4),充分混匀后加入5mmol/L硫酸亚铁溶液1.2mL,15mmol/L的EDTA溶液1.2mL,每加1管立即混匀,加入1.2mL蒸馏水以补充体积,最后加入0.1% H₂O₂ 1.6mL,为对照样;反应液在37℃保温1h,于536nm处测定吸光度。依上法,加入5mmol/L邻二氮菲无水乙醇溶液1.2mL,加入0.8mL的0.2mmol/L磷酸盐缓冲液(pH7.4),充分混匀后,加入5mmol/L硫酸亚铁溶液1.2mL,15mmol/L的EDTA溶液1.2mL,加入1.2mL不同浓度的V_c酯样品和V_c溶液,为处理样;最后加入0.1% H₂O₂ 1.6mL。空白对照不加0.1% H₂O₂,以蒸馏水补充体积。样品对羟自由基的清除率(E)按下式计算:

$$E(\%) = (A_{536\text{ 处理}} - A_{536\text{ 对照}}) / (A_{536\text{ 空白对照}} - A_{536\text{ 对照}}) \times 100\%$$

1.2.3.3 甲氧羰基丙烯酸-6-L-抗坏血酸酯对超氧阴离子自由基清除能力的测定 参照何玲玲等所述方法^[7],取50mmol/L Tris-HCl缓冲溶液(pH8.2)4.5mL,加4.2mL去离子水,混匀后25℃水浴保温20min,取出立即加入25℃水浴中预热的3mmol/L邻苯三酚0.3mL(以10mmol/L HCl代替邻苯三酚作为空白),混匀立即倒入比色杯,于325nm处每隔30s测A值1次,共测5min,计算对照溶液吸光度随时间的变化率F₀。依上法,在加入邻苯三酚前先加入4.2mL不同浓度的V_c酯样品和V_c溶液,混匀后25℃保温20min,取出立即加入25℃水浴中预热的3mmol/L邻苯三酚0.3mL,混匀立即倒入比色杯,于325nm处每隔30s测A值1次,共测5min,计算溶液吸光度随时间的变化率F_x。将F₀和F_x代入公式,计算样品和V_c溶液对超氧阴离子自由基的清除率。

$$\text{清除率}(\%) = (F_0 - F_x) / F_0 \times 100\%$$

2 结果与分析

2.1 产物性状与结构的鉴定

产物为黄色粘稠状固体,微溶于水,易溶于乙醇、乙酸乙酯等有机溶剂,不溶于乙醚。通过紫外扫描图谱(图1)可以看出,马来酸单酯结构中含有碳碳

双键共轭体系,在210nm有强吸收峰,V_c具有明显的环状结构,在260nm附近有紫外吸收峰。通过乙酸乙酯萃取出的产物中不含有V_c,并且经过纯化后排除微量马来酸单酯的干扰,从图1中可以看出,产物的紫外图谱具有这两个特征的吸收峰,初步确定得到目标产物。

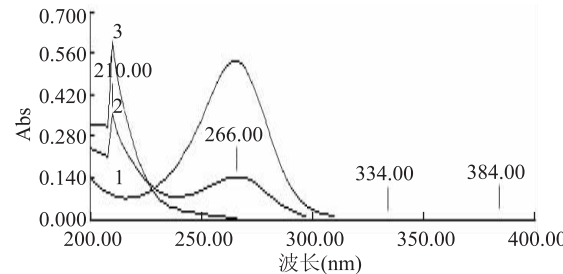


图1 V_c(线1)、马来酸单酯(线3)、V_c酯(线2)的紫外扫描图谱

通过¹H NMR对其结构进一步鉴定,见图2,核磁共振谱数据如下:(氘代氯仿, $\delta/\text{ppm} \times 10^{-6}$):6.35~6.47(m, $\text{---CH}_2\text{---}$), 4.31~4.38(m, $\text{---CH(OH)}\text{---}$), 3.90(s, $\text{---CH}_2\text{---CO---}$), 3.70~3.82(m, $\text{---CH}_2\text{---CO---}$), 2.10(s, ---CO---OCH_3)。

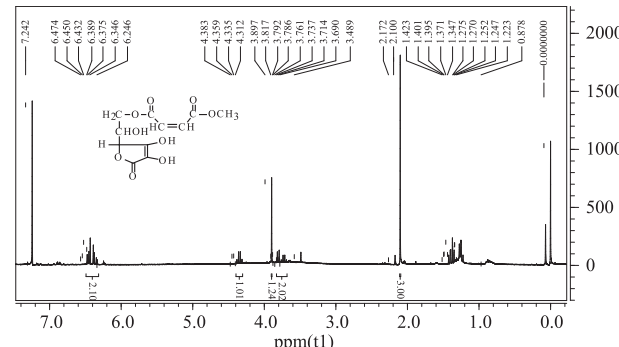


图2 V_c酯的核磁图谱

2.2 反应时间、反应温度对马来酸单甲酯酯化率的影响

从图3可以看出,随着温度的升高和时间的延长,V_c酯化率不断提高。不同温度下,当反应达到2.5h时,酯化率均无明显提高。因此选用60℃反应2.5h,酯化率可达到91.86%。由于甲醇的位阻小,马来酸酐与甲醇的醇解反应极容易进行。但反应温度过低,反应缓慢;提高反应温度可以加速反应,反应温度过高,容易形成二酯,使产率降低。

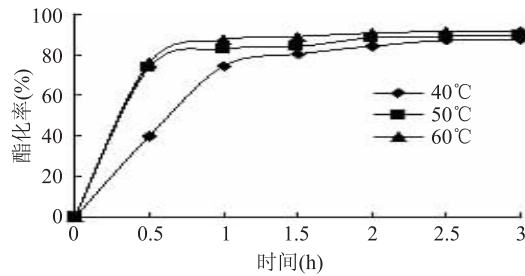


图3 温度、时间对酯化率的影响

2.3 甲氧羰基丙烯酸-6-L-抗坏血酸酯制备条件的选择

V_c 的耐热性较差, 高温下易氧化, 因此反应温度不能太高。但温度太低, 反应难以进行。 V_c 酯化一般都选用室温 25~26℃ 条件下进行, 通过实验也证明这个温度条件下反应能够顺利进行, V_c 的氧化速度也较慢。当温度升到 30℃ 时, V_c 氧化加速, 反应体系颜色加深, 反应产率降低。由于马来酸单甲酯的空间位阻较大, 影响了反应活性, V_c 又容易被氧化, 因此通过提高 V_c 与马来酸单甲酯的摩尔比来提高反应的产率。从图 4 可以看出, 在室温 25~26℃、反应时间 32h 的条件下, V_c 与马来酸单甲酯的摩尔比增至 2.5:1 时, 产率无明显增加趋势, 因此选用摩尔比 2.5:1。

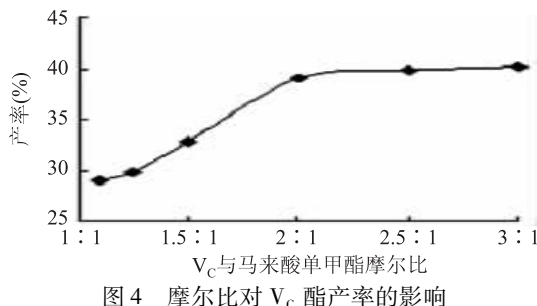
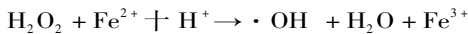


图 4 摩尔比对 V_c 酯产率的影响

2.4 甲氧羰基丙烯酸-6-L-抗坏血酸酯对羟自由基清除能力的测试结果

· OH 是造成组织脂过氧化、蛋白质解聚与聚合、核酸断裂、多糖解聚的重要活性氧。因此 · OH 清除率是反映物质抗氧化作用的重要指标。能产生 · OH 的体系很多, 其中 Fenton 反应是体内产生自由基的重要反应^[8], 其原理如下:



邻二氮菲与 Fe^{2+} 能形成红色的络合物, 在 536nm 处有最大吸收峰。当加入 H_2O_2 后, Fe^{2+} 被 · OH 氧化为 Fe^{3+} , 从而使溶液在 536nm 处的最大吸收峰消失。若加入的抗氧化剂清除羟自由基能力越强, 则溶液在 536nm 处的吸光值就越高^[3]。EC₅₀ 值表示清除 50% 自由基时所需抗氧化剂的量, 是衡量抗氧化剂效果的有效指标。

由图 5 可见, V_c 、 V_c 酯对羟自由基均有清除作用, 其中 V_c 酯清除能力要优于 V_c 。 V_c 、 V_c 酯清除羟自由基的 EC₅₀ 值分别为 5.58、4.39 mmol/L。

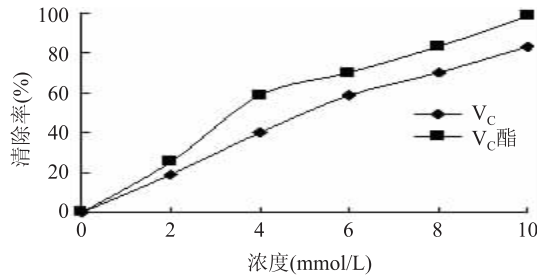


图 5 V_c 、 V_c 酯对羟自由基清除能力的结果

2.5 甲氧羰基丙烯酸-6-L-抗坏血酸酯对超氧阴离子自由基清除能力的测试结果

O_2^- 在油脂酸败、食品氧化变质中扮演重要的

角色, 它可以引起其它的氧化反应, 缩短食品的货架期, 是一种破坏性极强的自由基。根据邻苯三酚在碱性条件下会发生自氧化, 产生 O_2^- 及有色中间物质的原理, 本文采用邻苯三酚自氧化法, 对 V_c 酯清除超氧阴离子自由基能力进行测定。由图 6 可见, 浓度较低时 V_c 酯对超氧阴离子自由基的清除率略逊于 V_c , 随着浓度的增加其清除率大于 V_c 。 V_c 、 V_c 酯清除超氧阴离子自由基的 EC₅₀ 值分别为 0.1、0.091 mmol/L。

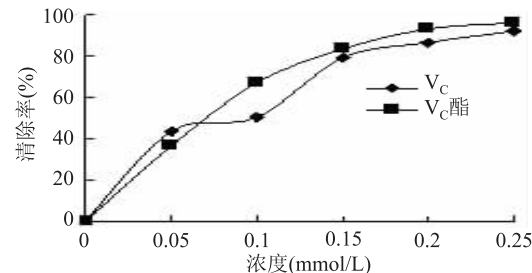


图 6 V_c 、 V_c 酯对超氧阴离子自由基清除能力的结果

3 结论

3.1 马来酸酐和甲醇在 60℃、摩尔比 1:1 的条件下反应 2.5h 得到马来酸单甲酯, 产率可达到 91.86%。

3.2 采用直接酯化法, V_c 与马来酸单甲酯在室温 25~26℃、摩尔比 2.5:1 的条件下反应 32h 得产物, 产率为 39.8%。本文通过化学改性增加了 V_c 的脂溶性, 从而扩展了其应用范围, 为新型 V_c 衍生物的研究开发提供了依据。

3.3 甲氧羰基丙烯酸-6-L-抗坏血酸酯对羟自由基、超氧阴离子自由基均有较好的清除效果, 随着浓度的增加其清除率不断提高, 清除效果优于 V_c , 是一种有潜力的食品抗氧化剂。

参考文献:

- [1] 张彦玲, 刘建峰, 齐永斌. 维生素 C 衍生物的现状与发展 [J]. 河北化工, 2005(3): 18~21.
- [2] 吴跃焕, 杨卓如, 曾汉维. 富马酸烷 3-PG 的合成研究 [J]. 精细化工, 2002(19): 268~272.
- [3] 巫晓琴, 乔薇, 闫素君, 黎峰, 李宁琳, 马林. L-抗坏血酸-6-对羟基苯甲酸酯的合成及抗氧化活性研究 [J]. 中山大学学报(自然科学版), 2007, 46(4): 59~62.
- [4] 战宇. 丁烯二酸桂醇甲酯的合成及在荔枝防腐保鲜中的应用研究 [D]. 广州: 华南理工大学博士学位论文, 2003.
- [5] 刘本国. 亮叶杨桐叶中类黄酮的提取、鉴定与修饰 [D]. 广州: 华南理工大学博士学位论文, 2007.
- [6] 贾之慎, 邬建敏, 唐孟成. 比色法测定 Fenton 反应产生的羟自由基 [J]. 生物化学与生物物理进展, 1996, 23(2): 184~186.
- [7] 何玲玲, 王新, 石中亮, 等. 醇提板栗壳色素对羟自由基和超氧阴离子自由基的清除作用 [J]. 安徽农业科学, 2006, 34(10): 2054~2058.
- [8] 金鸣, 蔡亚欣, 李金荣, 等. 邻二氮菲- Fe^{2+} 氧化法检测 H_2O_2/Fe^{2+} 产生的羟自由基 [J]. 生物化学与生物物理进展, 1996, 23(6): 553~555.